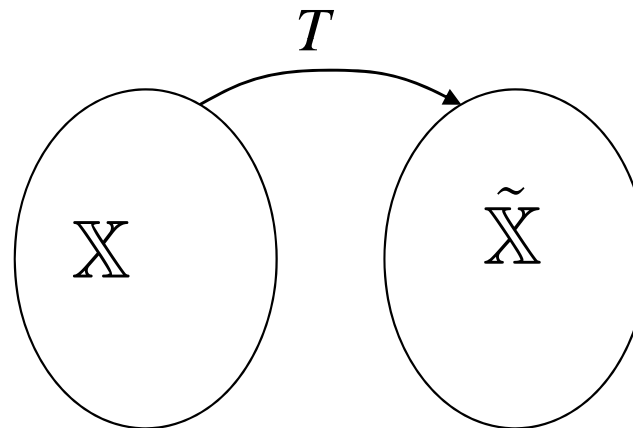


5. Schnelle Algorithmen zur Signal- und Bildverarbeitung

Aufwand einer allgemeinen Abbildung vom Vektorraum $\mathbb{R}^N \rightarrow \mathbb{R}^N$ (linear oder nichtlinear)

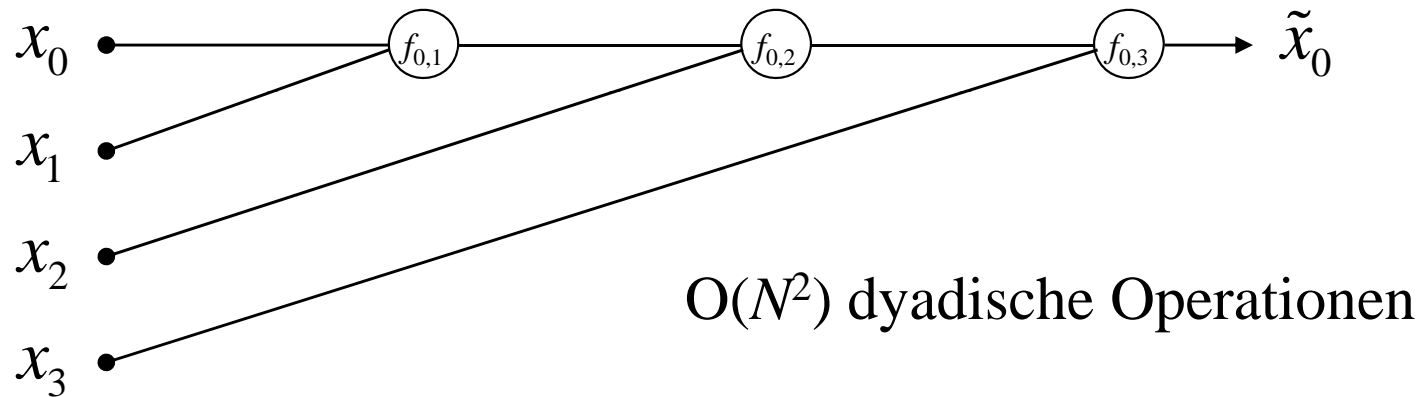
$$\tilde{\mathbf{x}} = T(\mathbf{x}) \quad \text{mit:} \quad \dim(\mathbf{x}) = \dim(\tilde{\mathbf{x}}) = N$$



Für die Abbildung T werden N^2 zweistellige Verknüpfungen benötigt, wenn jeder Eingangswert in aller Allgemeinheit in die Berechnung eines jeden Ausgangswertes eingehen soll.

Dies wird z.B. in dem folgenden Berechnungsschema deutlich:

$$\tilde{x}_j = f_{j,N-1}(\cdots f_{j,3}(f_{j,2}(f_{j,1}(x_0, x_1), x_2), x_3) \cdots, x_{N-1}))$$



Z.B. Die lineare Vektorraumoperation:

$$\boxed{\tilde{\mathbf{X}} = \mathbf{W}\mathbf{X}}$$
$$\begin{bmatrix} \tilde{x}_0 \\ \tilde{x}_1 \\ \tilde{x}_2 \\ \tilde{x}_3 \end{bmatrix} = \begin{bmatrix} w_{00} & w_{01} & w_{02} & w_{03} \\ w_{10} & w_{11} & w_{12} & w_{13} \\ w_{20} & w_{21} & w_{22} & w_{23} \\ w_{30} & w_{31} & w_{32} & w_{33} \end{bmatrix} \begin{bmatrix} x_0 \\ x_1 \\ x_2 \\ x_3 \end{bmatrix}$$

$$\tilde{x}_0 = \underbrace{\underbrace{\underbrace{(w_{00} \cdot x_0 + w_{01} \cdot x_1)}_{f_1(x_0, x_1)} + w_{02} \cdot x_2}_{f_2(\cdot, x_2) = (\cdot) + w_{02} \cdot x_2}}_{f_3(\cdot, x_3)} + w_{03} \cdot x_3$$

Dabei wird eine Addition+Multiplikation als eine Operation gezählt.

Eine Klasse schneller, Transformationen durch rekursive Faktorisierung der Transformation

Lässt sich die Transformation hingegen faktorisieren, d.h. kann man die Transformation der Dimension N auf zwei Transformationen der halben Dimension und einem Verschmelzungsschritt mit linearem Aufwand zurückführen, so erhält man:

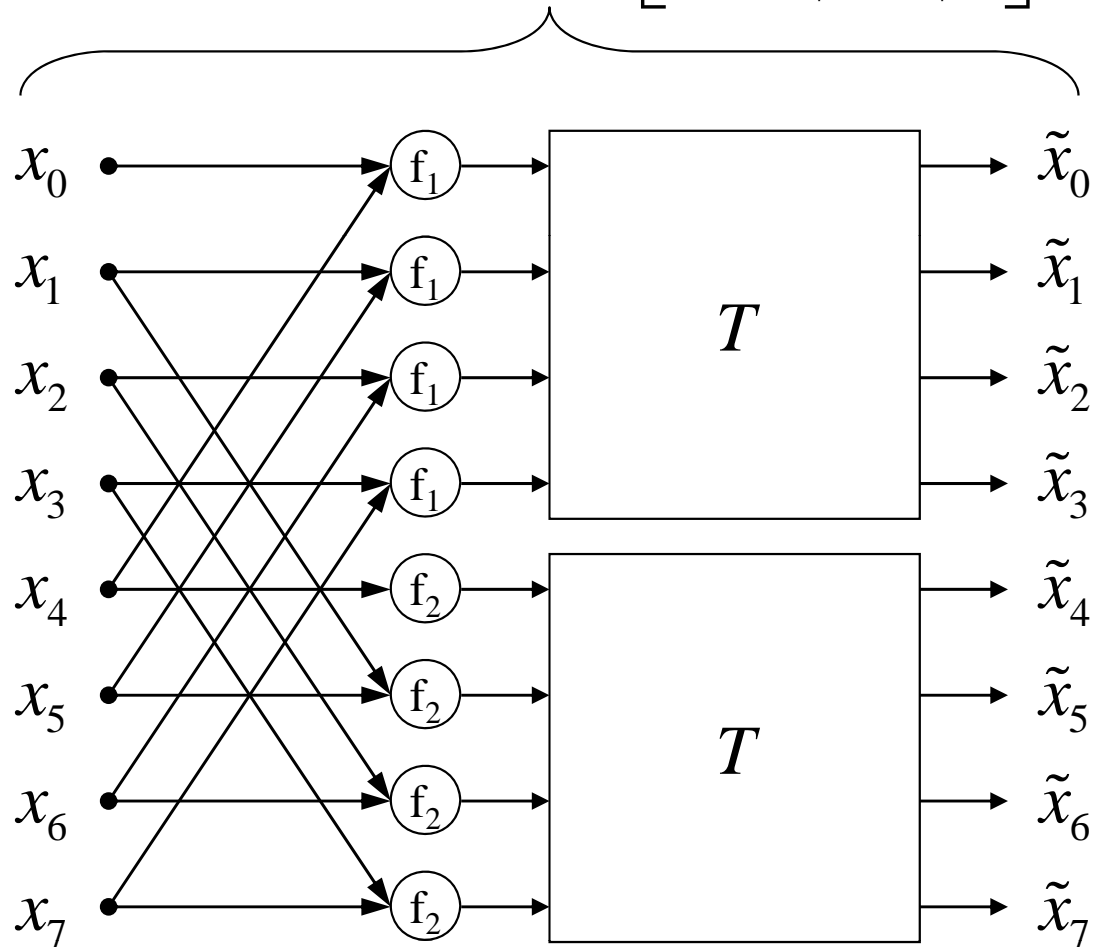
$$\tilde{\mathbf{x}} = T(\mathbf{x}) = \begin{bmatrix} \widetilde{f_1(\mathbf{x}_{1|2}, \mathbf{x}_{2|2})} \\ \widetilde{f_2(\mathbf{x}_{1|2}, \mathbf{x}_{2|2})} \end{bmatrix} = \begin{bmatrix} \widetilde{\mathbf{x}_{1|2}^{(1)}} \\ \widetilde{\mathbf{x}_{2|2}^{(1)}} \end{bmatrix}$$

Dabei bedeutet $f(\mathbf{x}, \mathbf{y})$ die Anwendung der zweistelligen Verknüpfung f auf korrespondierende Elemente der beiden Vektoren \mathbf{x} und \mathbf{y} .

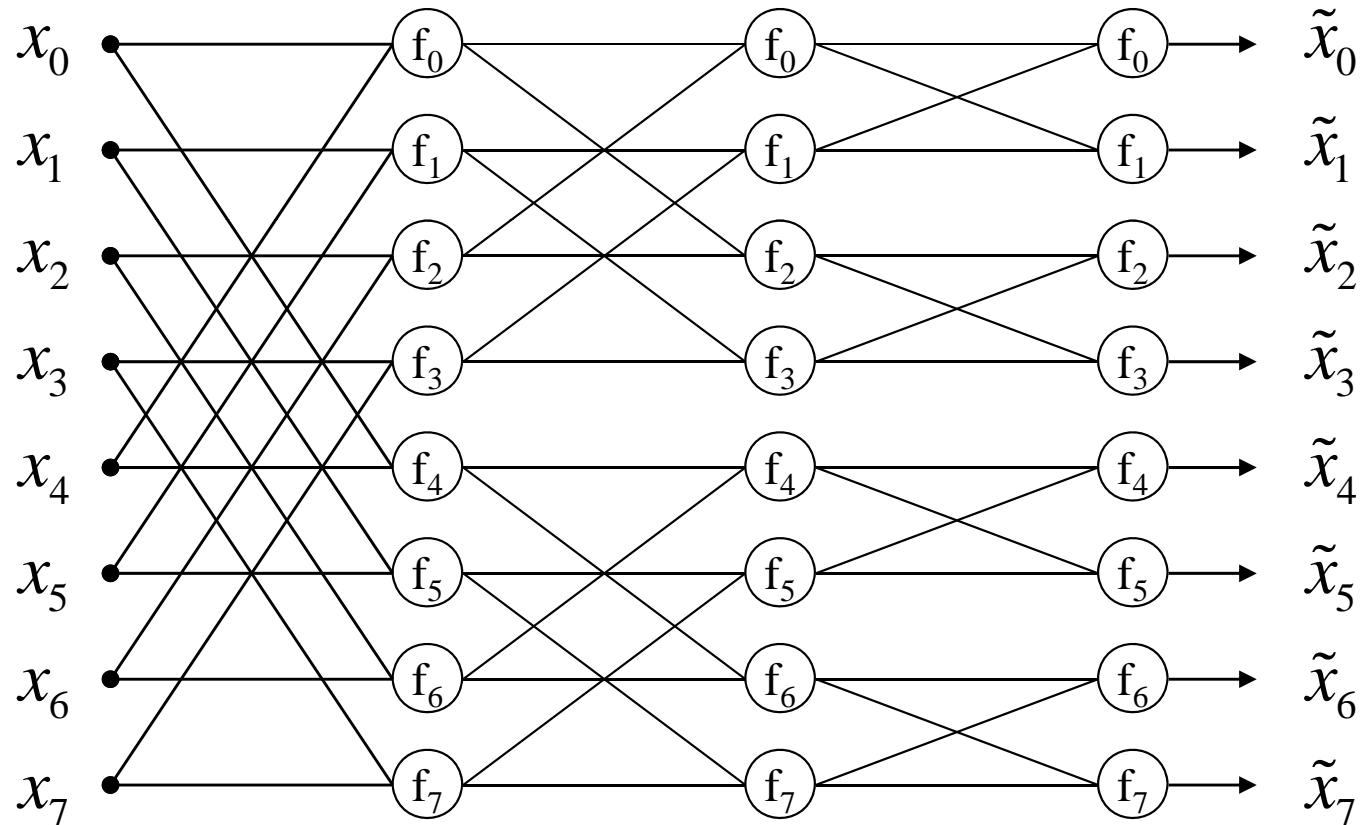
Nach mindestens ($\text{ld } N$) Schichten, geht jedes Eingangselement x_i in die Berechnung eines jeden Ausgangselementes \tilde{x}_j ein!

Rekursive Faktorisierung der Transformation T

$$\tilde{\mathbf{x}} = T(\mathbf{x}) = \begin{bmatrix} \overbrace{f_1(\mathbf{x}_{1|2}, \mathbf{x}_{2|2})} \\ \underbrace{f_2(\mathbf{x}_{1|2}, \mathbf{x}_{2|2})} \end{bmatrix}$$



Butterfly- oder In-Place-Signalflußgraph der schnellen Transformation T



Berechnungskomplexität

Durch die Faktorisierung ergibt sich ein Aufwand für $N=2^n$ von:

$$(1 \cdot N + 2 \cdot N/2 + 4 \cdot N/4 + \dots + N/2 \cdot 2) = N \cdot \text{ld}(N) = N \cdot n \text{ Operationen}$$

D.h. ein Aufwandsgewinn von:
$$\frac{N^2}{N \log_2 N} = \frac{N}{\log_2 N}$$

Für $N=2^{10}=1024$ ergibt sich bereits ein Gewinn von $1024/10 \approx 100$.

Laufzeitgewinn

N	N^2	$N \lg N$	Gewinn: $\frac{N^2}{N \cdot \lg N} = \frac{N}{\lg N}$
100	10.000	664	15
500	250.000	4.483	55
1.000	10^6	10^4	100
$10^3 \cdot 10^3 = 10^6$	10^{12}	$2 \cdot 10^6$	50.000

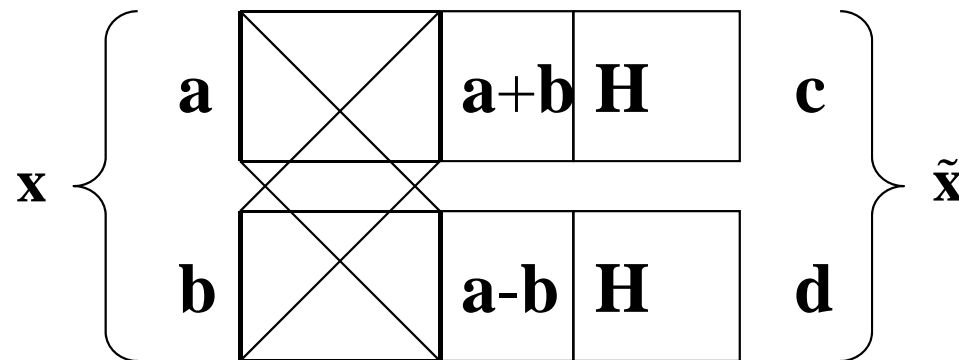
Konsequenzen der Faktorisierung

1. Schneller Algorithmus mit $(N \cdot \log_2 N)$ zweistelligen Verknüpfungen
2. In-Place-Algorithmus
3. Modulare Nutzung
 - Hardware: modularer Aufbau aus Bausteinen kleinerer Dimension
 - Software: modulare Nutzung kleinerer Teiltransformationen z.Bsp. bei beschränktem Hauptspeicher
4. Rekursion sehr leistungsfähig für Beweisführung (vollständige Induktion)

Die schnelle Walsh-Hadamard-Transformation

Rekursive Definition von \mathbf{H} : $\tilde{\mathbf{x}} = \mathbf{H}\mathbf{x}$ mit: $\mathbf{H}_N = \begin{bmatrix} \mathbf{H}_{N/2} & \mathbf{H}_{N/2} \\ \mathbf{H}_{N/2} & -\mathbf{H}_{N/2} \end{bmatrix}$

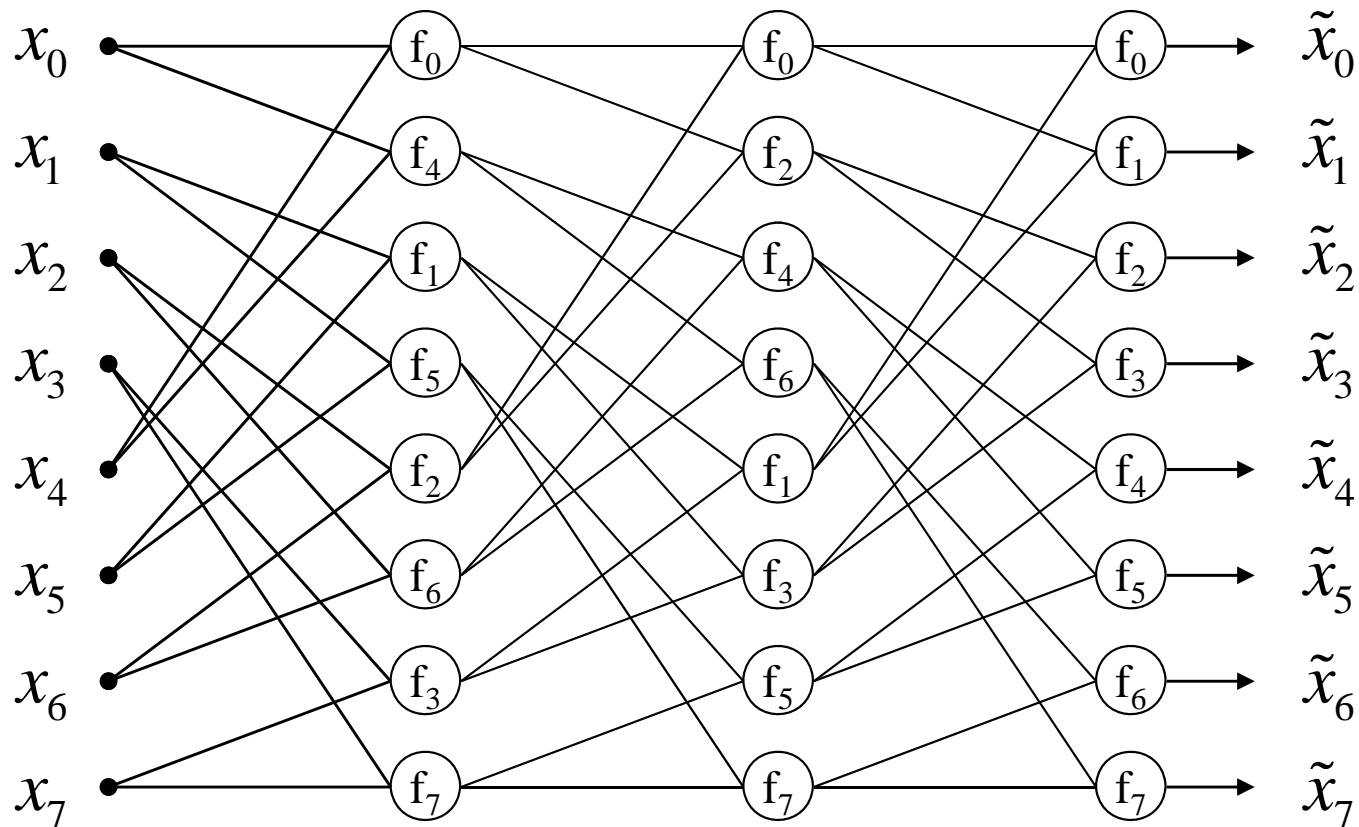
$$\Rightarrow \tilde{\mathbf{x}} = \begin{bmatrix} \mathbf{c} \\ \mathbf{d} \end{bmatrix} = \begin{bmatrix} \mathbf{H} & \mathbf{H} \\ \mathbf{H} & -\mathbf{H} \end{bmatrix} \begin{bmatrix} \mathbf{a} \\ \mathbf{b} \end{bmatrix} = \begin{bmatrix} \mathbf{H}\mathbf{a} + \mathbf{H}\mathbf{b} \\ \mathbf{H}\mathbf{a} - \mathbf{H}\mathbf{b} \end{bmatrix} = \begin{bmatrix} \mathbf{H}(\mathbf{a} + \mathbf{b}) \\ \mathbf{H}(\mathbf{a} - \mathbf{b}) \end{bmatrix} = \begin{bmatrix} \mathbf{H} & \mathbf{0} \\ \mathbf{0} & \mathbf{H} \end{bmatrix} \begin{bmatrix} \mathbf{a} + \mathbf{b} \\ \mathbf{a} - \mathbf{b} \end{bmatrix}$$



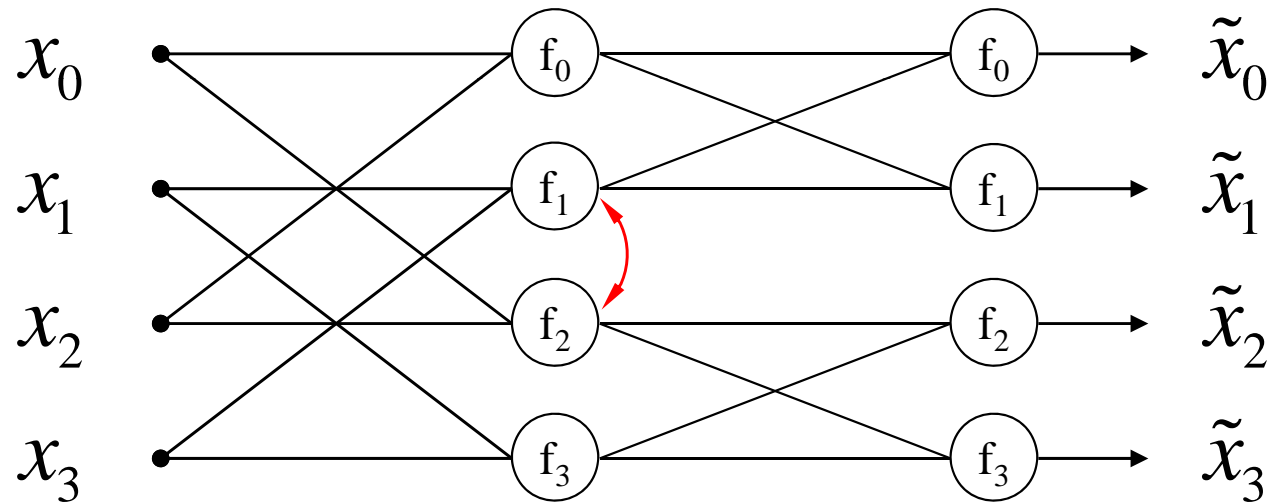
Bei Fortsetzung der Rekursion wird die H-Matrix auf Kosten linearer Verschmelzungsschritte auf Diagonalform reduziert!

$t(N) = 2 \cdot t(N/2) + N \Rightarrow t(N) = O(N \lg N)$ Rekursion mit linearem Verschmelzungsaufwand (Folie 27 mit $a = c = 2$)

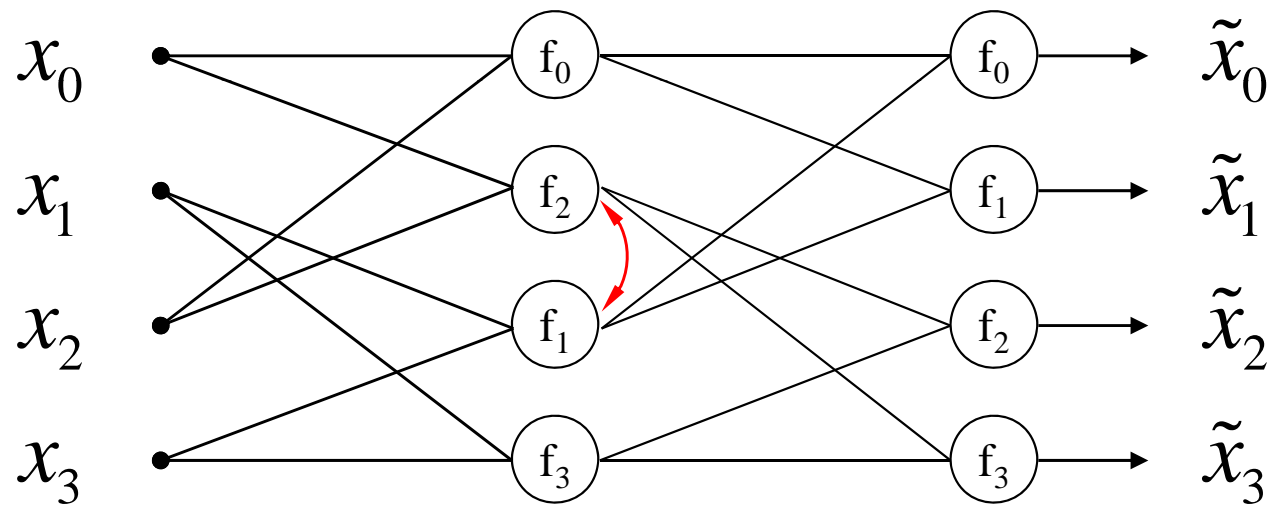
Homogener oder de Bruijn-Signalflußgraph der schnellen Transformation T



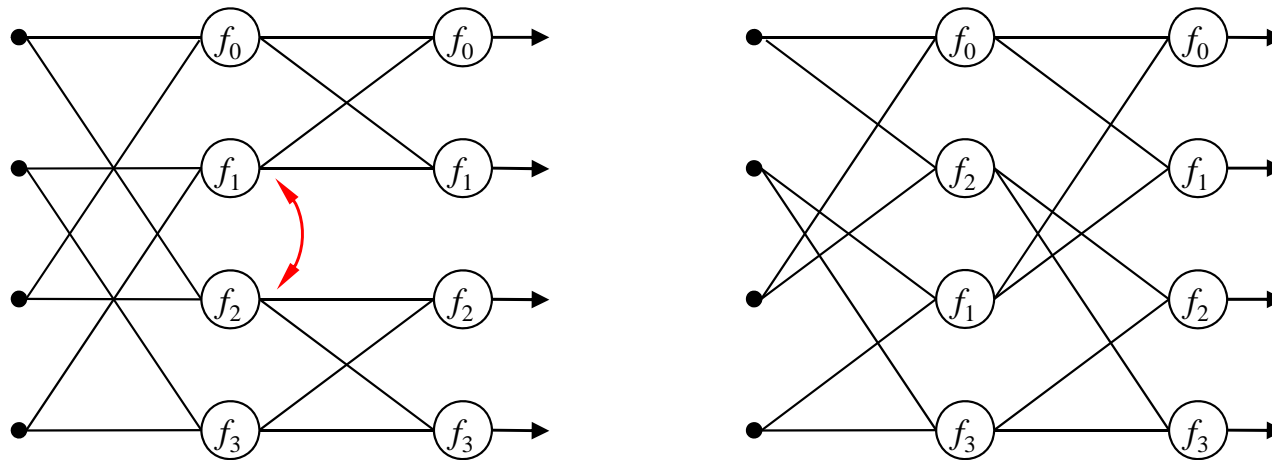
Übergang zum homogenen Graphen durch Permutation der Knoten



Übergang zum homogenen Graphen durch Permutation der Knoten



Übergang vom De Bruijn-Graph zum homogenen Graphen



Knoten verschieben!

Verbindungen werden mitgenommen

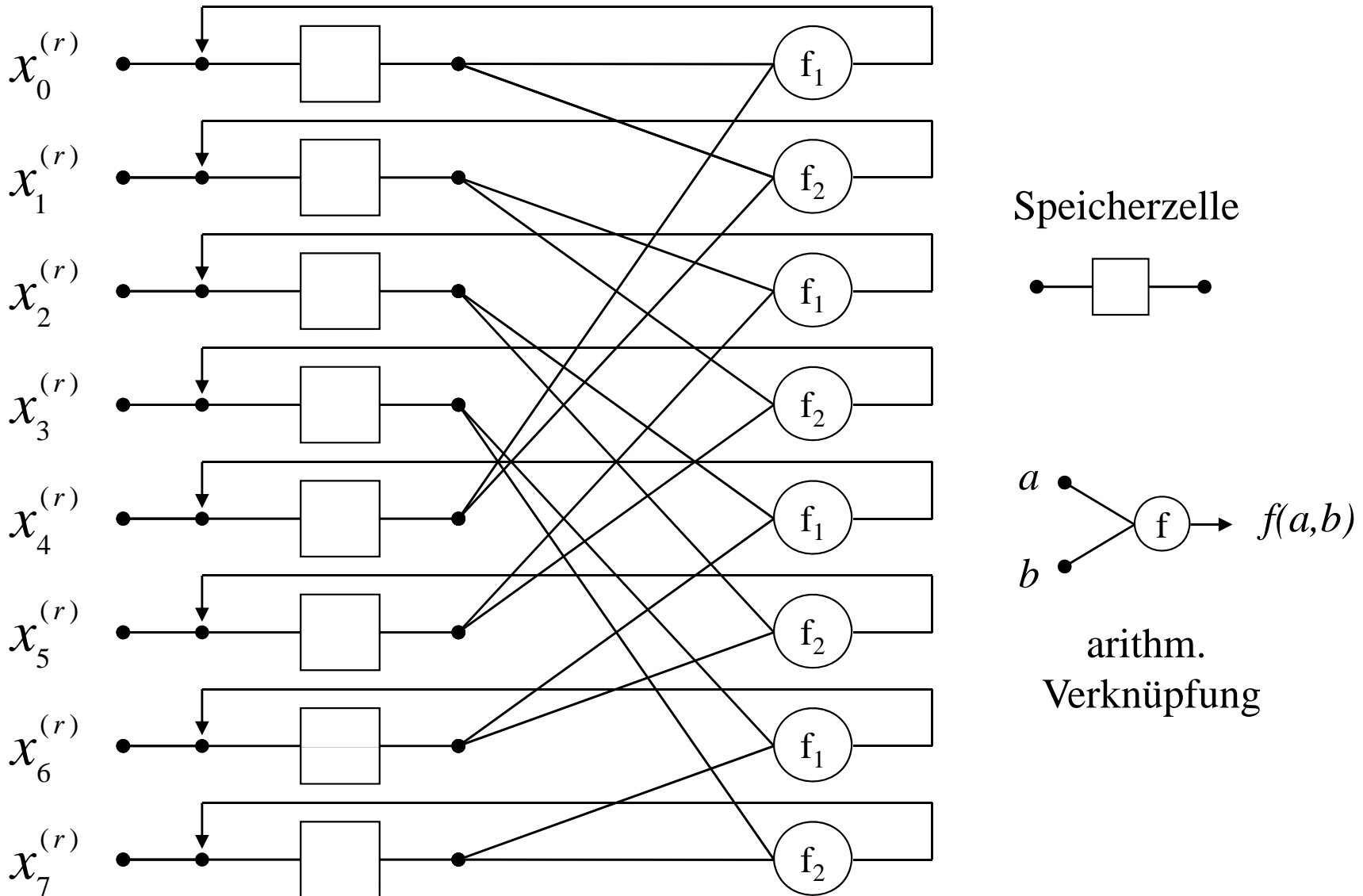
Die Umwandlung des Butterfly- in den homogenen Graphen für eine allgemeine Basis-B Faktorisierung durch Permutation der Knoten

Die Verknüpfung f_r von Schicht j des Butterfly-Graphen wandert an die Stelle r' , mit:

$$r'^{(j)} = \tau_j(r_B^{(0)}) = \tau_1(r_B^{(j-1)})$$

τ_j bezeichnet j zyklische Verschiebungen nach links von r , dargestellt im Basis-B-Zahlensystem mit $n - \log_B N$ Stellen

Allgemeiner paralleler Signalprozessor ($N=8$)



Die Transformation T in APL

```
[0] Z←T X;N
[1] ⍝ T REKURSIV (mit Bit-Reversal)
[2] →(1>N←(,ρZ←X)÷2)/0
[3] Z←,(T((N↑X) F1 (N↓X))),[1.5](T((N↑X) F2 (N↓X)))
```

```
[0] Z←T X;I;LN;NH
[1] ⍝ T ITERATIV
[2] LN←1+2⊗NH←(ρZ←X)÷2
[3] I←1
[4] M:Z←,((NH↑Z) F1 (NH↓Z)),[1.5]((NH↑Z) F2 (NH↓Z))
[5] →(LN≥I←I+1)/M
```

Schnelle Fouriertransformation FFT

```
[0] Z ← FFTR X; N; W
[1] ρ FFT REKURSIVE DEFINITION
[2] ρ MIT BIT-REVERSAL
[3] → (1 > N ← (ρ Z ← X) ÷ 2) / 0
[4] W ← CEXP ◦ (−1 + i N) ÷ N
[5] Z ← , (FFTR(N ↑ X) + (N ↓ X)), [1.5] (FFTR W × (N ↑ X) − (N ↓ X))
```

```
[0] Z ← CEXP X
[1] Z ← −1 2 ◦ X
```

Schneller CT-in-place-Algorithmus

(in Matlab-Notation)

```
function X = ict( X )
% ICT Schneller ct-in-place-Algorithmus
% X = ICT(X) berechnet allgemeinen schnellen Basis-2-Algorithmus.
% Operatorwahl durch externe Funktionen f1(a,b) und f2(a,b)

n = length( X );    % Dimension des Eingabevektors

ln = log2( n );
np2 = n;

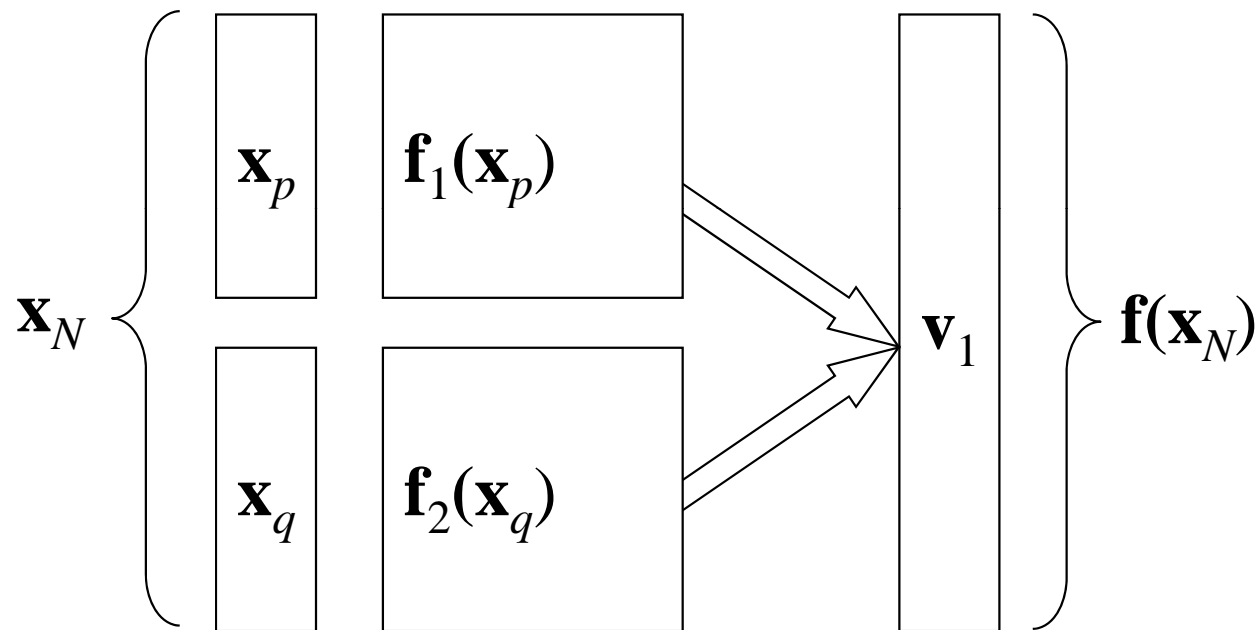
for i = 1:ln,      % fuer jede Schicht
    np = np2;
    np2 = np/2;
    for m = 1:np2, % fuer jeden Knoten eines Teilbaumes
        for j1 = m:np:n, % fuer jeden Teilbaum
            j2 = j1 + np2;
            t = f2( X(j1), X(j2) );
            X(j1) = f1( X(j1), X(j2) );
            X(j2) = t;
        end
    end
end
end
end
```

z.B. Walsh-Transf:

```
function
f1(a,b) = a+b;
```

```
function
f2(a,b) = a-b;
```

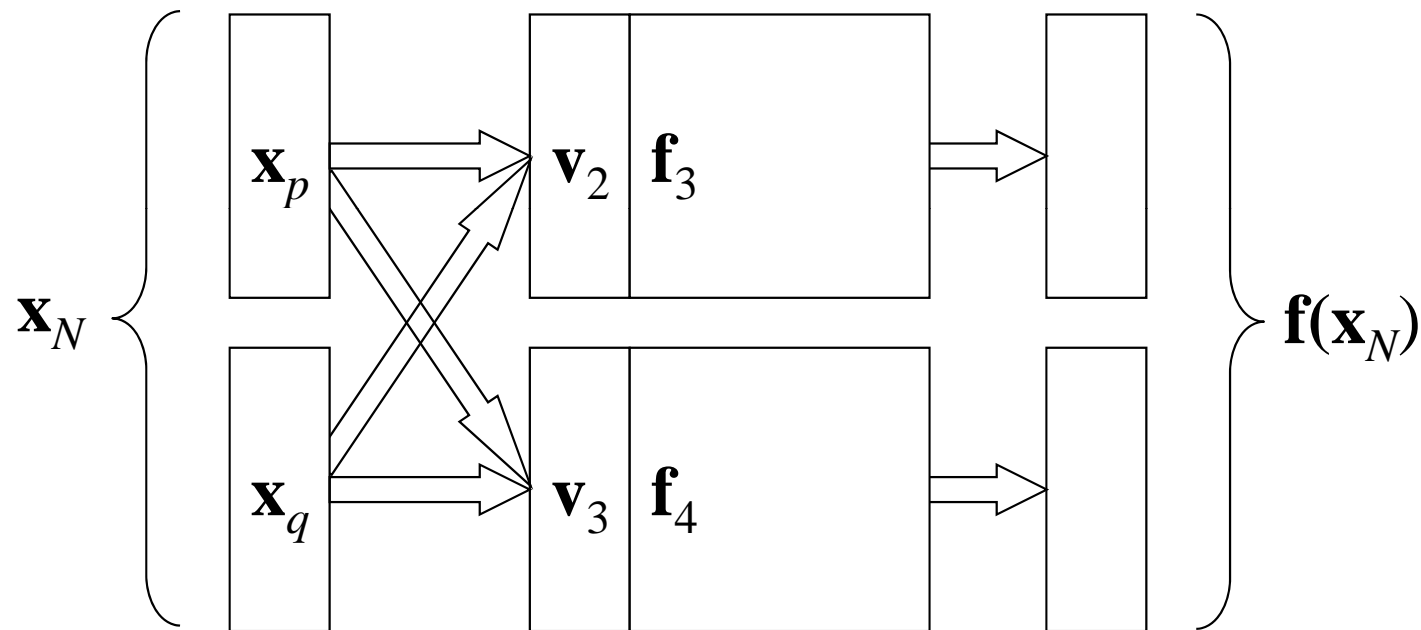
Erste kanonische Zerlegungsstrategie: separat auswerten und Verschmelzung am Schluss



$$\mathbf{f}(\mathbf{x}_N) = \mathbf{v}_1(\mathbf{f}_1(\mathbf{x}_p), \mathbf{f}_2(\mathbf{x}_q))$$

Zweite kanonische Zerlegungsstrategie

Verschmelzung zu Beginn, dann separat auswerten



$$\mathbf{f}(\mathbf{x}_N) = \mathbf{f}_3(\mathbf{v}_2(\mathbf{x}_p, \mathbf{x}_q)), \mathbf{f}_4(\mathbf{v}_3(\mathbf{x}_p, \mathbf{x}_q))$$

Beispiel: Zwei Zerlegungsstrategien zum Sortieren von N Zahlen

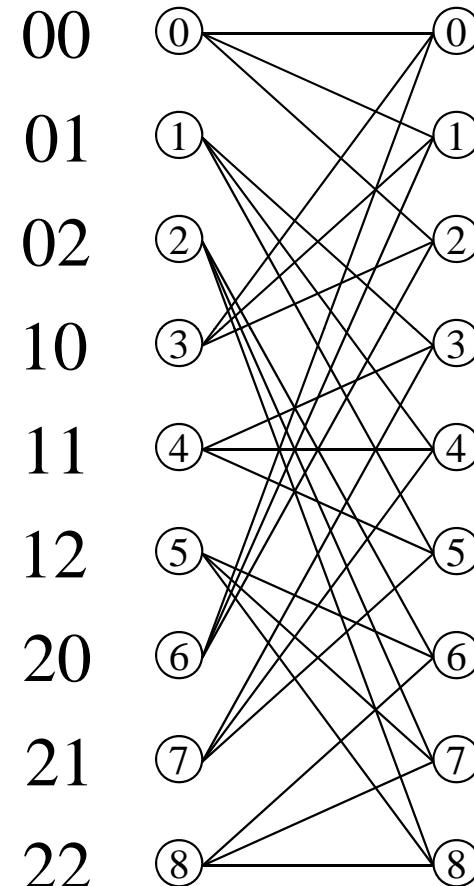
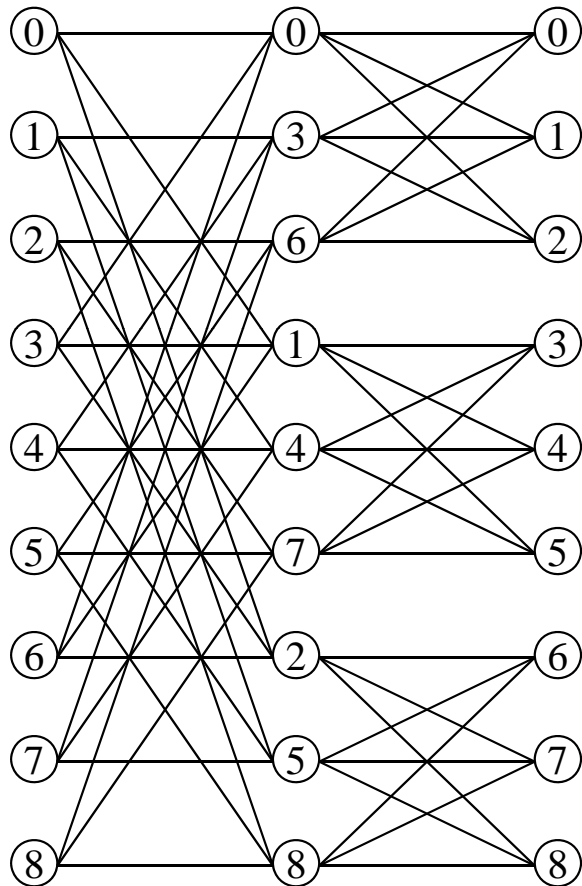
- Zu I (Merge-Sort):
 - Trenne die Daten in zwei Hälften (ungeordnet trennen)
 - Sortiere beide Hälften (entkoppelt bearbeiten)
 - Verschmelze die sortierten Hälften zu einem geordneten Datensatz der Länge N (geordnet zusammenführen)
- Zu II (Quicksort):
 - Separiere die Ausgangsdaten in zwei Hälften derart, dass alle Elemente der ersten Hälfte kleiner sind als die der zweiten Hälfte (geordnet trennen)
 - Sortiere beide Hälften (entkoppelt bearbeiten)
 - Erstelle ein Gesamtergebnis durch einfaches Aneinanderreihen der Teilergebnisse (einfach, da unabhängig voneinander zusammenfügen)

Rekursive Basis-3 Faktorisierung der Transformation T

$$\tilde{\mathbf{x}} = T(\mathbf{x}) = \begin{bmatrix} \overline{f_1(\mathbf{x}_{1|3}, \mathbf{x}_{2|3}, \mathbf{x}_{3|3})} \\ \overline{f_2(\mathbf{x}_{1|3}, \mathbf{x}_{2|3}, \mathbf{x}_{3|3})} \\ \overline{f_3(\mathbf{x}_{1|3}, \mathbf{x}_{2|3}, \mathbf{x}_{3|3})} \end{bmatrix}$$

Dabei bedeutet $f(\mathbf{x}, \mathbf{y}, \mathbf{z})$ die Anwendung der dreistelligen Verknüpfung f auf korrespondierende Elemente der drei Vektoren \mathbf{x}, \mathbf{y} und \mathbf{z} .

Die beiden kanonischen Verarbeitungsgraphen für eine Basis-3-Faktorisierung (Butterfly u. De Bruijn)



Nach mindestens $(\log_B N)$ Schichten, geht jedes Eingangselement x_i in die Berechnung eines jeden Ausgangselementes \tilde{x}_j ein!

Anzahl der dyadischen Operationen bei einem Basis-B-Algorithmus

$(B-1)N \cdot \log_B N$ dyadische Operationen

$\log_B N$ - Schichten

$N \cdot (B-1)$ - Operationen/Schicht

Zum Beispiel:

- $B=2, N=1024$:
10 Schichten
1024 Operationen/Schicht $\Rightarrow 10\,240 \approx 10^4$ Operationen
- $B=4, N=1024$:
5 Schichten
 $3 \cdot 1024 = 3072$ Operationen/Schicht $\Rightarrow 15\,360$ Operationen
- $B=N, N=1024$:
1 Schicht
 N^2 Operationen/Schicht $\Rightarrow N^2 = 1024^2 = 1\,048\,576 \approx 10^6$ Operationen

Analyse und Rechenregeln rekursiver Zerlegungen

Bei vollständiger Auflösung einer Rekursion erhält man die folgenden asymptotischen Analysen für die Berechnungskomplexität:

I. Konstanter Verschmelzungsaufwand d :

$$t(N) = \begin{cases} b & \text{für } N = 1 \quad \text{mit: } N = c^n \\ a \cdot t\left(\frac{N}{c}\right) + d & \text{für } N > 1 \quad \text{mit: } a, b > 0 \end{cases}$$

Asymptotische Komplexität:

$$t(N) = \begin{cases} O(N^{\log_c a}) & \text{für } a \neq 1 \\ O(\log_c N) & \text{für } a = 1 \end{cases}$$

II. Linear wachsender Verschmelzungsaufwand $b \cdot N$:

$$t(N) = \begin{cases} b & \text{für } N = 1 \quad \text{mit: } N = c^n \\ a \cdot t\left(\frac{N}{c}\right) + b \cdot N & \text{für } N > 1 \quad \text{mit: } a, b > 0 \end{cases}$$

Asymptotische Komplexität:

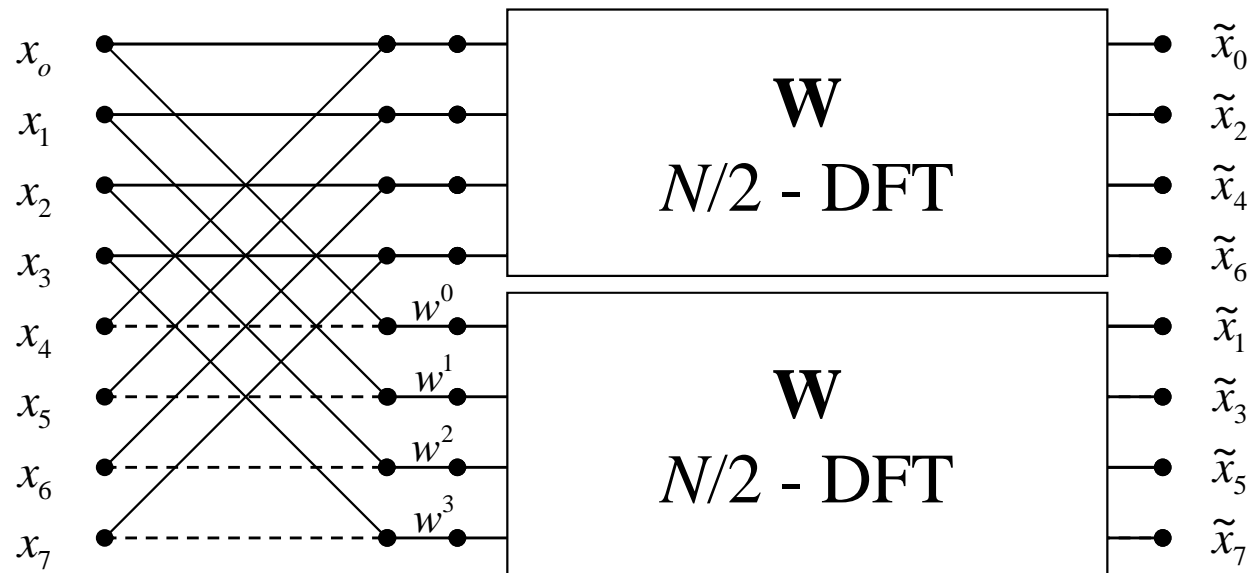
$$t(N) = \begin{cases} O(N) & \text{für } a < c \\ O(N \log_c N) & \text{für } a = c \\ O(N^{\log_c a}) & \text{für } a > c \end{cases}$$

Faktorisierung der DFT \Rightarrow FFT (Fast Fourier Transform)

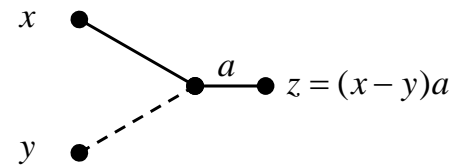
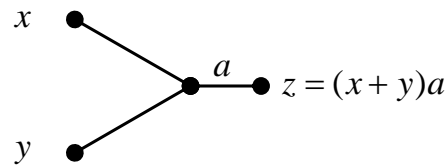
$$f_1(a, b) = a + b$$

$$f_2(a, b) = (a - b)w^i$$

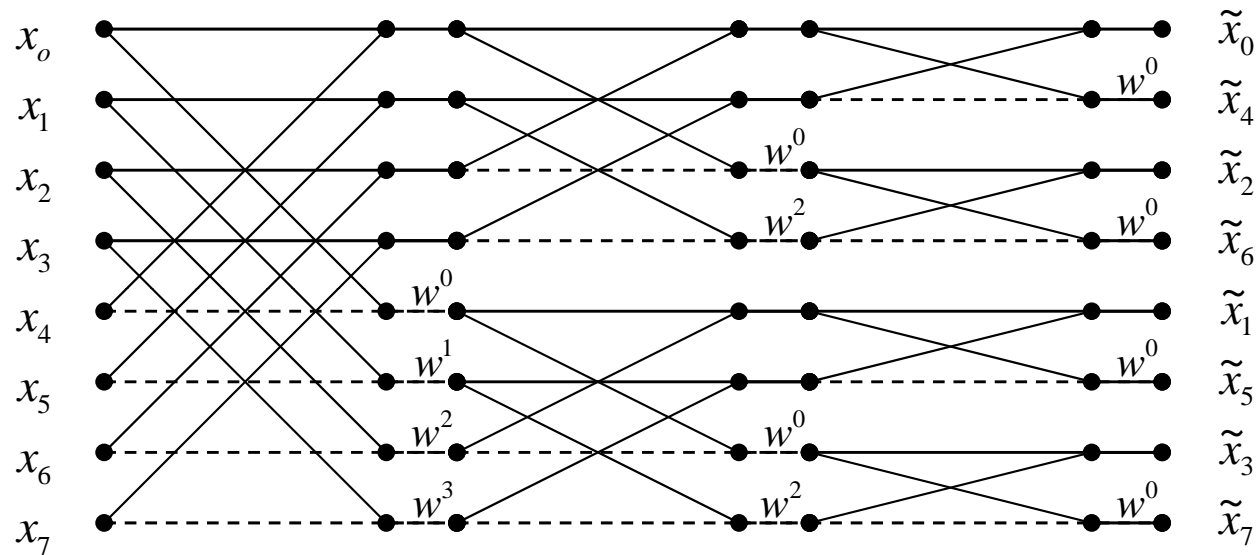
FFT nach dem Sande-Tukey-Algorithmus (decimation in frequency) Originaldaten in natürlicher Ordnung



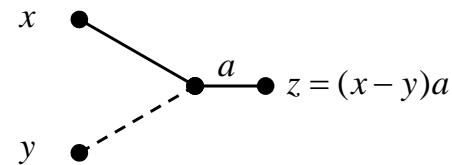
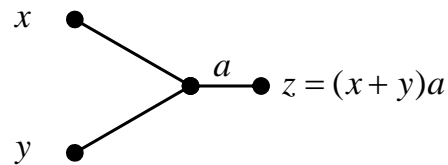
$$w = e^{-j2\pi/N}$$



FFT nach dem Sande-Tukey-Algorithmus

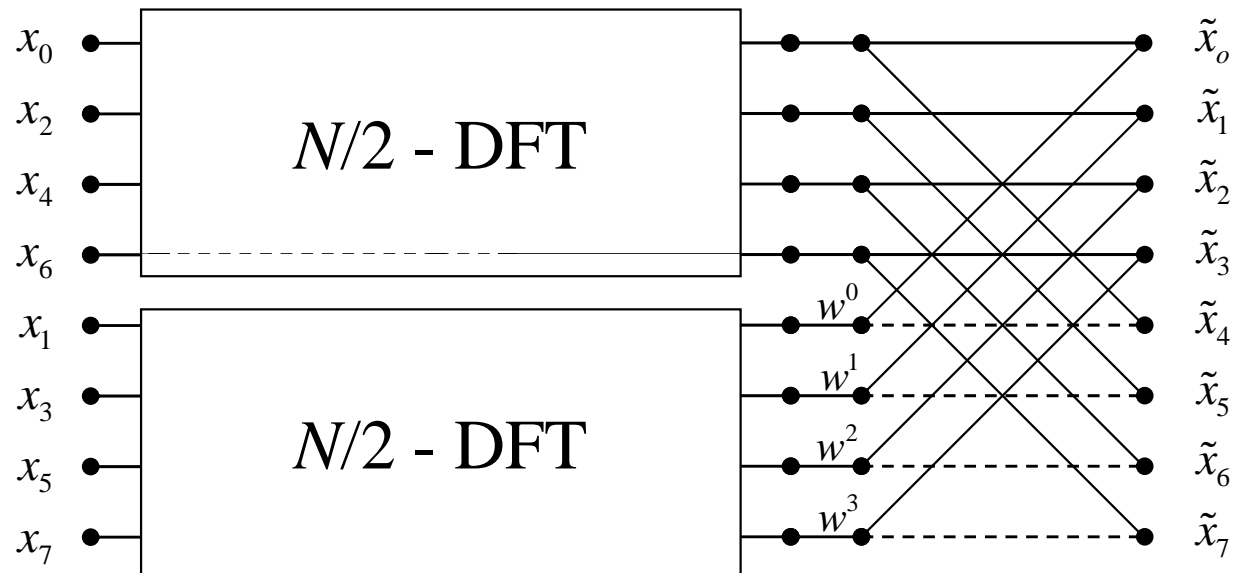


$$w = e^{-j2\pi/N}$$

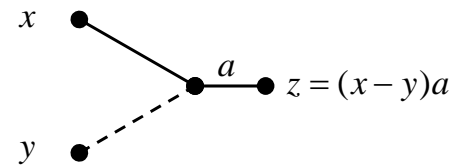
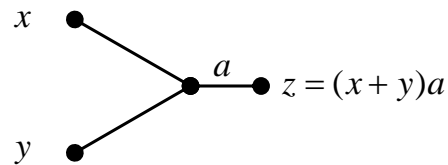


FFT nach dem Cooley-Tukey-Algorithmus (decimation in time)

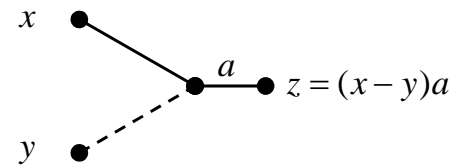
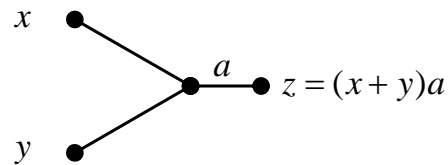
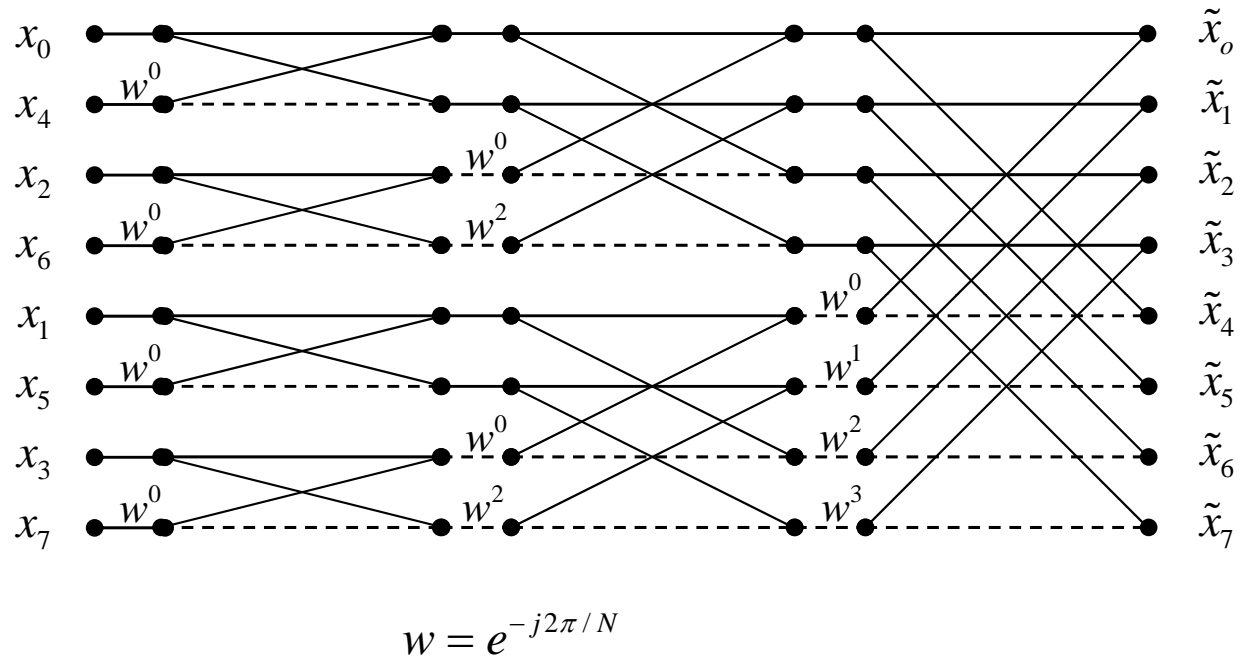
Ergebnisse in natürlicher Ordnung



$$w = e^{-j2\pi/N}$$



FFT nach dem Cooley-Tukey-Algorithmus



FFT nach dem Sande-Tukey-Algorithmus

(in Matlab-Notation)

```
function result = FFT(X, N)
% result = FFT(X, N)
% Eindimensionale FFT (Sande-Tukey-In-Place-Algorithmus)
LN = floor(log2(N));
NP2 = N;
for I=1:LN,
    NP = NP2;
    NP2 = NP/2;
    U = 1.0+ 0i;
    w = exp(i * (-pi/NP2));
    for M=1:NP2,
        for J1=M:NP:N,
            J2 = J1 + NP2;
            T = X(J1) - X(J2);
            X(J1) = X(J1) + X(J2);
            X(J2) = T * U;
        end;
        U=U*w;
    end;
end;
result = BR(X,N);
```

Bit-reversal rekursiv

Gerade und ungerade Zahlen rekursiv entmischen (inverse perfect shuffle)

0	0	0	0	0	0	0
1	0	0	0	1	8	2
2	0	0	1	0	4	4
3	0	0	1	1	12	6
4	0	1	0	0	2	8
5	0	1	0	1	10	10
6	0	1	1	0	6	12
7	0	1	1	1	14	14
8	1	0	0	0	1	<hr/> 1
9	1	0	0	1	9	3
10	1	0	1	0	5	5
11	1	0	1	1	13	7
12	1	1	0	0	3	9
13	1	1	0	1	11	11
14	1	1	1	0	7	13
15	1	1	1	1	15	15

Bit-reversal rekursiv

Gerade und ungerade Zahlen rekursiv entmischen (inverse perfect shuffle)

0	0	0	0	0	0		0	0
1	0	0	0	1	8		2	4
2	0	0	1	0	4		4	8
3	0	0	1	1	12		6	<u>12</u>
4	0	1	0	0	2		8	<u>2</u>
5	0	1	0	1	10		10	6
6	0	1	1	0	6		12	10
7	0	1	1	1	14		14	<u>14</u>
8	1	0	0	0	1		<u>1</u>	<u>1</u>
9	1	0	0	1	9		3	5
10	1	0	1	0	5		5	9
11	1	0	1	1	13		7	<u>13</u>
12	1	1	0	0	3		9	<u>3</u>
13	1	1	0	1	11		11	7
14	1	1	1	0	7		13	11
15	1	1	1	1	15		15	15

Bit-Reversal rekursiv

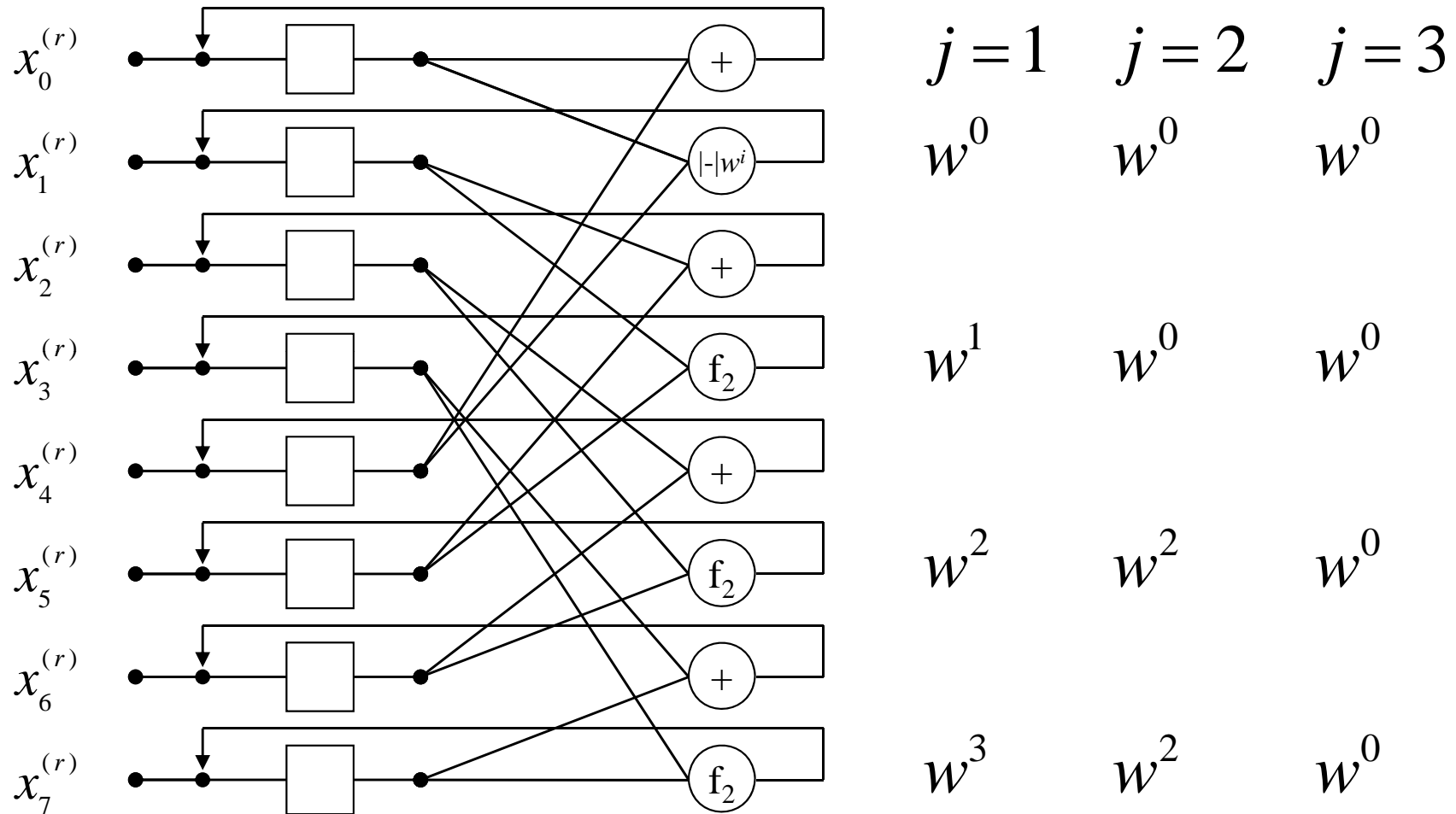
Gerade und ungerade Zahlen rekursiv entmischen (inverse perfect shuffle)

0	0	0	0	0	0	0	0	0
1	0	0	0	1	8	2	4	8
2	0	0	1	0	4	4	8	4
3	0	0	1	1	12	6	<u>12</u>	12
4	0	1	0	0	2	8	<u>2</u>	2
5	0	1	0	1	10	10	6	10
6	0	1	1	0	6	12	10	6
7	0	1	1	1	14	14	14	14
8	1	0	0	0	1	<u>1</u>	1	1
9	1	0	0	1	9	3	5	9
10	1	0	1	0	5	5	9	5
11	1	0	1	1	13	7	<u>13</u>	13
12	1	1	0	0	3	9	3	3
13	1	1	0	1	11	11	7	11
14	1	1	1	0	7	13	11	7
15	1	1	1	1	15	15	15	15

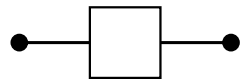
Bit-Reversal

```
function result = BR(X, N)
% result = BR(X, N)
% Fuehrt ein Bit-reversal auf dem Vektor X der Laenge N durch
NH = N / 2;
J = 1;
for I=1:N-1,
    if (I < J),
        T = X(J);
        X(J) = X(I);
        X(I) = T;
    end;
    K = NH;
    while (K < J),
        J = J-K;
        K = K/2;
    end;
    J=J+K;
end;
result = X;
return;
```

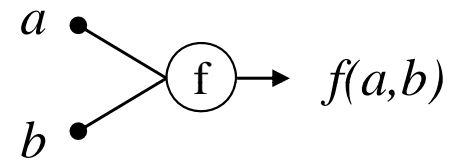
Paralleler FFT-Prozessor ($N=8$)



Speicherzelle

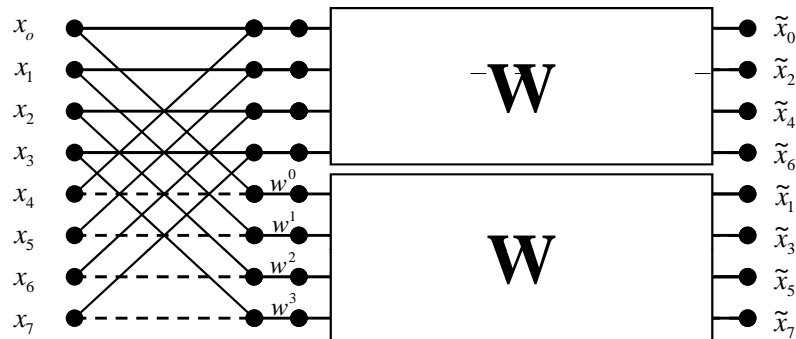


arithm.
Verknüpfung



Faktorisierung der Fourier-Matrix \mathbf{W}

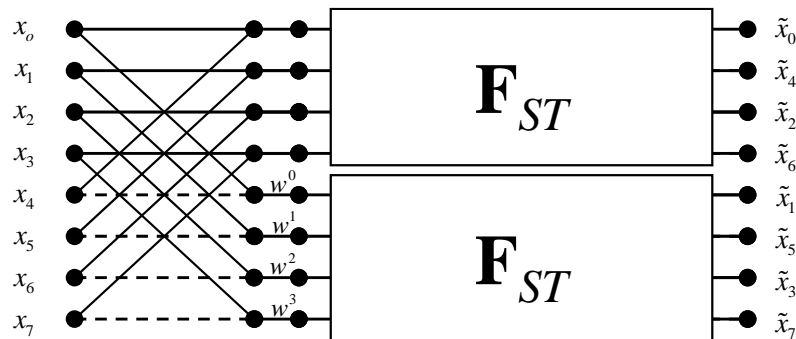
Rekursive Definition des Sande-Tukey-Algorithmus:



$$\tilde{\mathbf{x}} = \begin{bmatrix} \mathbf{c} \\ \mathbf{d} \end{bmatrix} = \mathbf{P}_{ug} \begin{bmatrix} \mathbf{W} & \mathbf{W} \\ \mathbf{W}\mathbf{D} & -\mathbf{W}\mathbf{D} \end{bmatrix} \begin{bmatrix} \mathbf{a} \\ \mathbf{b} \end{bmatrix}$$

mit: $\mathbf{D} = \text{diag}(w^0, w^1, \dots, w^{N/2-1})$, $w = e^{j\frac{2\pi}{N}}$

Die Permutation \mathbf{P}_{ug} ergibt sich aus der rekursiven Zerlegung des Bit-Reversal in der ersten Stufe.



$$\tilde{\mathbf{x}} = \begin{bmatrix} \mathbf{c} \\ \mathbf{d} \end{bmatrix} = \mathbf{P}_{br} \begin{bmatrix} \mathbf{F}_{ST} & \mathbf{F}_{ST} \\ \mathbf{F}_{ST}\mathbf{D} & -\mathbf{F}_{ST}\mathbf{D} \end{bmatrix} \begin{bmatrix} \mathbf{a} \\ \mathbf{b} \end{bmatrix}$$

mit: $\mathbf{D} = \text{diag}(w^0, w^1, \dots, w^{N/2-1})$, $w = e^{j\frac{2\pi}{N}}$

Faktorisierung der Fourier-Matrix \mathbf{W}

Die Fouriermatrix kann ähnlich wie die Walsh-Hadamard-Matrix faktorisiert werden. Aufbauend auf die rekursive Definition des Sande-Tukey-Algorithmus erhält man:

$$\begin{aligned}\tilde{\mathbf{x}} = \begin{bmatrix} \mathbf{c} \\ \mathbf{d} \end{bmatrix} &= \mathbf{P}_{br} \begin{bmatrix} \mathbf{F}_{ST} & \mathbf{F}_{ST} \\ \mathbf{F}_{ST} \mathbf{D} & -\mathbf{F}_{ST} \mathbf{D} \end{bmatrix} \begin{bmatrix} \mathbf{a} \\ \mathbf{b} \end{bmatrix} = \mathbf{P}_{ug} \begin{bmatrix} \mathbf{W} & \mathbf{W} \\ \mathbf{WD} & -\mathbf{WD} \end{bmatrix} \begin{bmatrix} \mathbf{a} \\ \mathbf{b} \end{bmatrix} \\ &= \mathbf{P}_{ug} \begin{bmatrix} \mathbf{W}(\mathbf{a} + \mathbf{b}) \\ \mathbf{WD}(\mathbf{a} - \mathbf{b}) \end{bmatrix} = \mathbf{P}_{ug} \begin{bmatrix} \mathbf{W} & \mathbf{0} \\ \mathbf{0} & \mathbf{WD} \end{bmatrix} \begin{bmatrix} \mathbf{a} + \mathbf{b} \\ \mathbf{a} - \mathbf{b} \end{bmatrix} \\ \text{mit: } \mathbf{D} &= \text{diag}(w^0, w^1, \dots, w^{N/2-1}), \quad w = e^{j\frac{2\pi}{N}}\end{aligned}$$

Statt einer voll besetzten Matrix erhält man eine ausgedünnte Blockdiagonalmatrix auf Kosten eines linearen Verschmelzungsaufwandes.

Fourier-Matrix hier in Bit-Reversal zeilenpermutterter Form (nicht frequenzgeordnet), ähnlich wie beim Unterschied Hadamard-/Walsh-Matrix!

Bei Fortsetzung der Rekursion wird die F-Matrix auf Kosten linearer Verschmelzungsschritte auf Diagonalform reduziert!

$$t(N) = 2 \cdot t(N/2) + N \Rightarrow t(N) = O(N \lg N)$$

Rekursion mit linearem Verschmelzungsaufwand

Übergang von Cooley-Tukey zu Sande-Tukey-Algorithmus

Aus der rekursiven Definition von Cooley-Tukey und Sande-Tukey-Algorithmus ergibt sich:

$$\begin{array}{l}
 \text{Cooley-Tukey: } \tilde{\mathbf{x}} = \mathbf{W}\mathbf{x} = \begin{bmatrix} \mathbf{F}_{CT} & \mathbf{D}\mathbf{F}_{CT} \\ \mathbf{F}_{CT} & -\mathbf{D}\mathbf{F}_{CT} \end{bmatrix} \mathbf{P}_{br}\mathbf{x} = \mathbf{F}_{CT}\mathbf{P}_{br}\mathbf{x} \\
 \text{Sande-Tukey: } \tilde{\mathbf{x}} = \mathbf{W}\mathbf{x} = \mathbf{P}_{br} \begin{bmatrix} \mathbf{F}_{ST} & \mathbf{F}_{ST} \\ \mathbf{F}_{ST}\mathbf{D} & -\mathbf{F}_{ST}\mathbf{D} \end{bmatrix} \mathbf{x} = \mathbf{P}_{br}\mathbf{F}_{ST}\mathbf{x}
 \end{array}$$

Die Permutationsmatrix $\mathbf{P}_{br}\mathbf{x}$ realisiert die Bit-Reversal-Permutation und es gilt:

$$\mathbf{P}_{br}^{-1} = \mathbf{P}_{br}^T = \mathbf{P}_{br}$$

Vergleicht man die beiden rekursiven Definitionen, so erhält man unmittelbar:

$$\begin{array}{ll}
 \mathbf{F}_{ST} = \mathbf{P}_{br}\mathbf{W} & \text{BR-Permutation der Zeilen von } \mathbf{W} \\
 \mathbf{F}_{CT} = \mathbf{W}\mathbf{P}_{br} & \text{BR-Permutation der Spalten von } \mathbf{W}
 \end{array}$$

Es gilt: $(\mathbf{AB})^T = \mathbf{B}^T\mathbf{A}^T$

$$\Rightarrow \boxed{\mathbf{F}_{CT}^T = (\mathbf{W}\mathbf{P}_{br})^T = \mathbf{P}_{br}^T\mathbf{W}^T = \mathbf{P}_{br}\mathbf{W} = \mathbf{F}_{ST}}$$

Übergang von Cooley-Tukey zu Sande-Tukey-Algorithmus

Die frequenzgeordnete Fouriermatrix ergibt sich somit gemäß:

$$\mathbf{W} = \mathbf{P}_{br} \mathbf{F}_{ST} = \mathbf{F}_{CT} \mathbf{P}_{br}$$

und damit auch:

$$\mathbf{F}_{ST} = \mathbf{P}_{br}^T \mathbf{F}_{CT} \mathbf{P}_{br} = \mathbf{P}_{br} \mathbf{F}_{CT} \mathbf{P}_{br}$$

Und somit kann man beide Transformationen beschreiben als:

$$\tilde{\mathbf{x}} = \mathbf{W} \mathbf{x} = \underbrace{\mathbf{P}_{br} \mathbf{F}_{ST} \mathbf{x}}_{\substack{\text{zuerst Transf.} \\ \text{dann BR}}} = \underbrace{\mathbf{F}_{CT} \mathbf{P}_{br} \mathbf{x}}_{\substack{\text{zuerst BR} \\ \text{dann Transf}}}$$

Dabei bedeutet:

$\mathbf{F} \mathbf{P}_{br}$ eine BR-Permutation der Spalten

$\mathbf{P}_{br} \mathbf{F}$ eine BR-Permutation der Zeilen

Transformation zweier *reeller* Folgen **a** und **b** mit einer komplexen FFT

(z.B. zur schnellen Faltung zwischen **a** und **b**)

Man verteilt die beiden reellen Folgen **a** und **b** auf den Real- und Imaginärteil einer Folge **x** und transformiert komplex:

$$\mathbf{x}(n) = \mathbf{a}(n) + j\mathbf{b}(n) \xRightarrow{\text{Linearität}} \tilde{\mathbf{x}}(k) = \tilde{\mathbf{a}}(k) + j\tilde{\mathbf{b}}(k)$$

Aus der Tatsache, dass die Fouriertransformierte einer *reellen* Sequenz konj. symmetrisch und die einer imaginären Sequenz konj. antisymmetrisch ist folgt:

$$\begin{aligned}\tilde{\mathbf{a}}(k) = \tilde{\mathbf{x}}_e(k) &= \frac{1}{2}(\tilde{\mathbf{x}}(k) + \tilde{\mathbf{x}}^*(-k)) && \text{konj. symmetrisch} \\ j\tilde{\mathbf{b}}(k) = \tilde{\mathbf{x}}_o(k) &= \frac{1}{2}(\tilde{\mathbf{x}}(k) - \tilde{\mathbf{x}}^*(-k)) && \text{konj. antisymmetrisch}\end{aligned}$$

Transformation von *reellen* Folgen der Länge $2N$ mit *einer* komplexen FFT der Länge N

Man verteilt die Werte mit geradem Index auf den Realteil und die ungeraden Elemente auf den Imaginärteil und verfährt so wie in der Folie zuvor angegeben:

$$\left. \begin{array}{l} \mathbf{x}_g \Rightarrow \text{Realteil} \\ \mathbf{x}_u \Rightarrow \text{Imaginärteil} \end{array} \right\} \text{Transformation gemäß Folie zuvor}$$

Sodann erhält man unter Anwendung des Cooley-Tukey-Algorithmus:

$$\tilde{\mathbf{x}} = \begin{bmatrix} \tilde{\mathbf{x}}_g + \mathbf{d} \circ \tilde{\mathbf{x}}_u \\ \tilde{\mathbf{x}}_g - \mathbf{d} \circ \tilde{\mathbf{x}}_u \end{bmatrix}$$

mit:

$$\mathbf{d} = \left[w^0, w^1, w^2, \dots, w^{N/2-1} \right]; \quad w = e^{-j2\pi/N}$$

Komplexität zweidimensionaler diskreter unitärer Transformationen

Gegeben: Bildmatrizen \mathbf{A} der Dimension $N \times N = 2^n \times 2^n$.

1) Berechnung eines Fourierkoeffizienten über Innenprodukt z.B. bei Walsh-Transf.:

$$\widetilde{A}_{ij} = \langle \mathbf{A}, \mathbf{W}_{ij} \rangle \Rightarrow O(N^2)$$

$$\text{Für alle Elemente von } \widetilde{\mathbf{A}} = \{ \widetilde{A}_{ij} \} \Rightarrow O(N^2 \cdot N^2) = O(N^4)$$

2) Walsh-Transformation mit separierbarem Kern:

$$\widetilde{\mathbf{A}} = \underbrace{\mathbf{W} \cdot \underbrace{\mathbf{A} \cdot \mathbf{W}}_{N^3}}_{2N^3} \quad \text{Damit bereits eine Reduktion auf } O(N^3) !$$

3) Walsh-Transformation mit schneller 1D-Transformation:

$$\widetilde{\mathbf{A}} = \mathbf{W} \cdot \underbrace{\mathbf{A} \cdot \mathbf{W}}_{N \cdot (N \text{Id } N) = N^2 \cdot \text{Id } N}_{2N^2 \cdot \text{Id } N} \quad \text{Damit Reduktion auf } O(N^2 \cdot \text{Id } N)$$

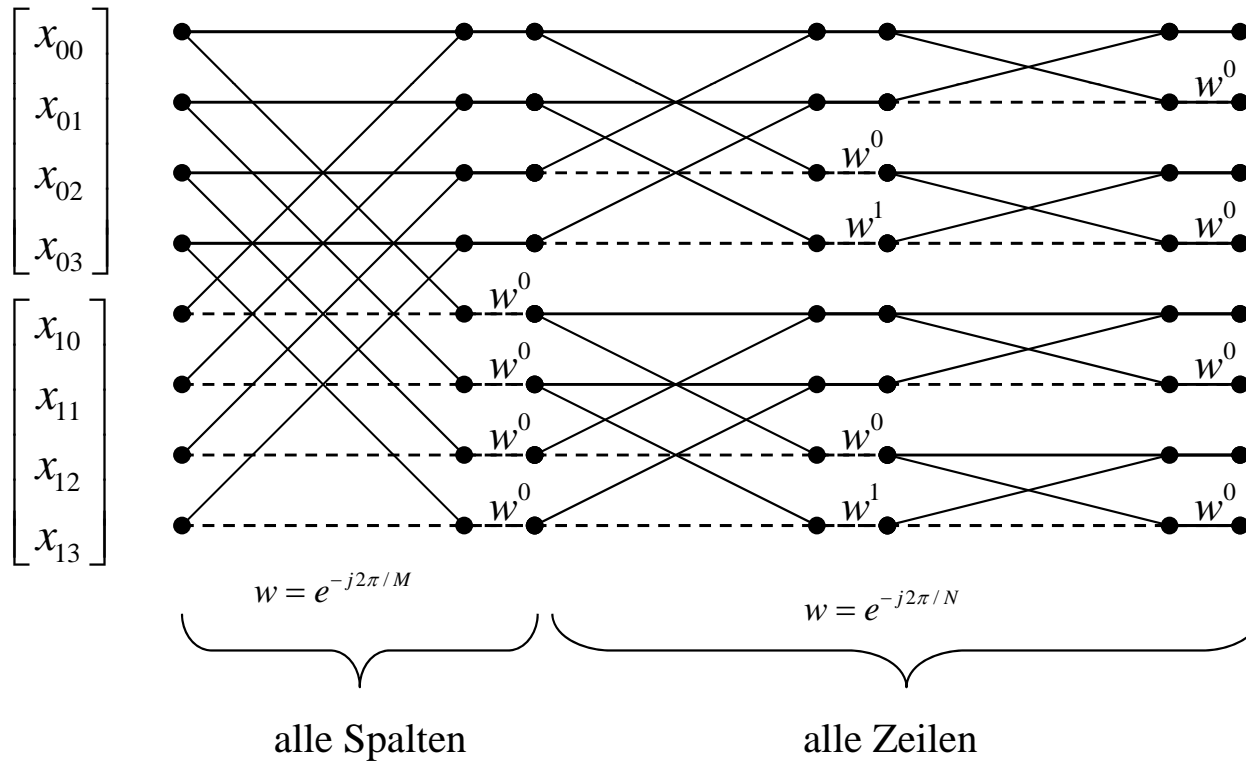
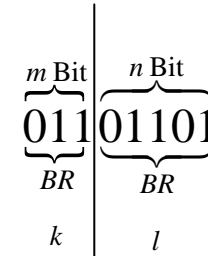
Eindimensionale Realisierung der zweidimensionalen FFT

$$\mathbf{X} = \begin{bmatrix} x_{00} & x_{01} & x_{02} & x_{03} \\ x_{10} & x_{11} & x_{12} & x_{13} \end{bmatrix}$$

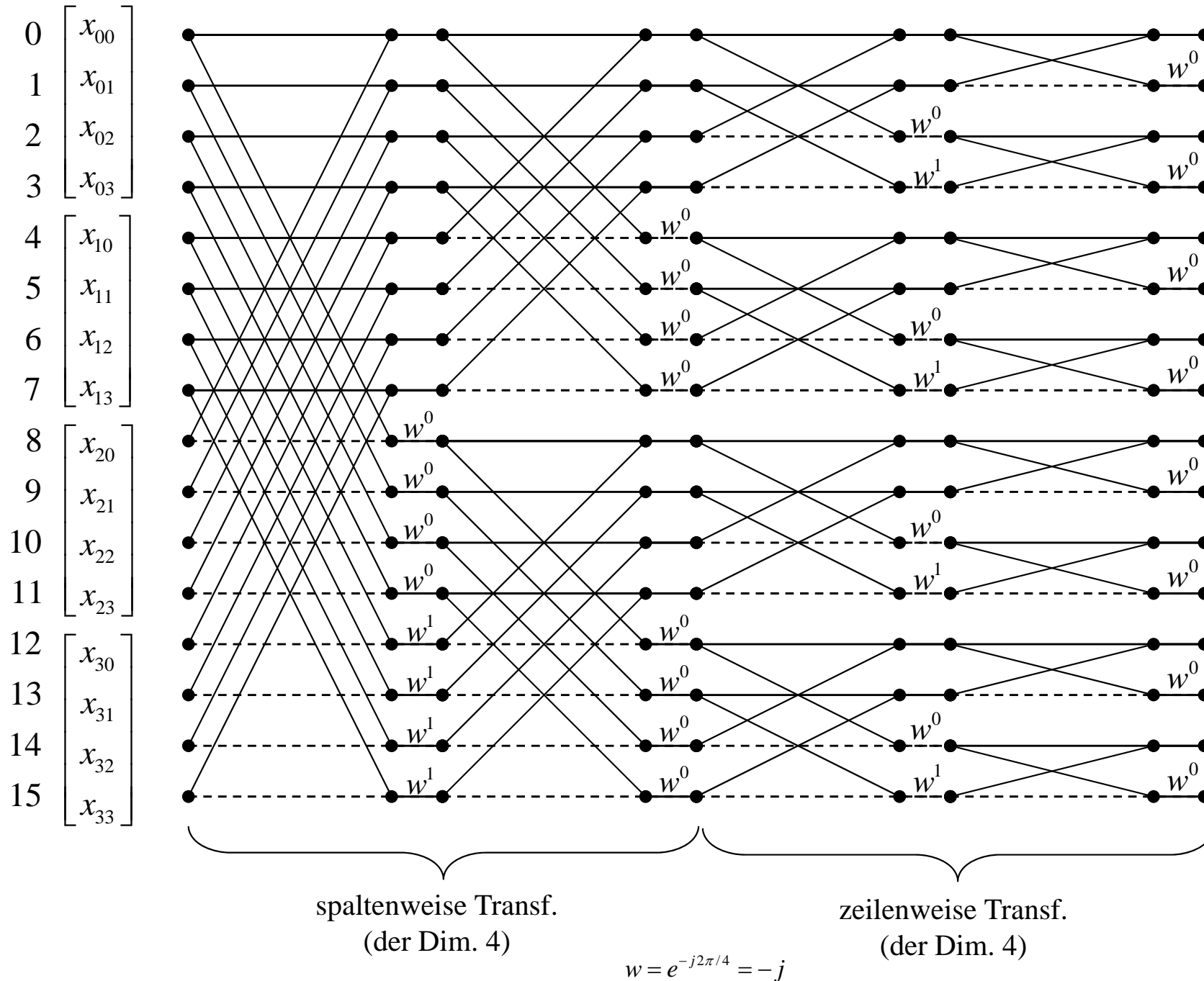
$$\dim(\mathbf{X}) = M \times N = 2^m \times 2^n = 2 \times 4$$

2D - Bit - Reversal

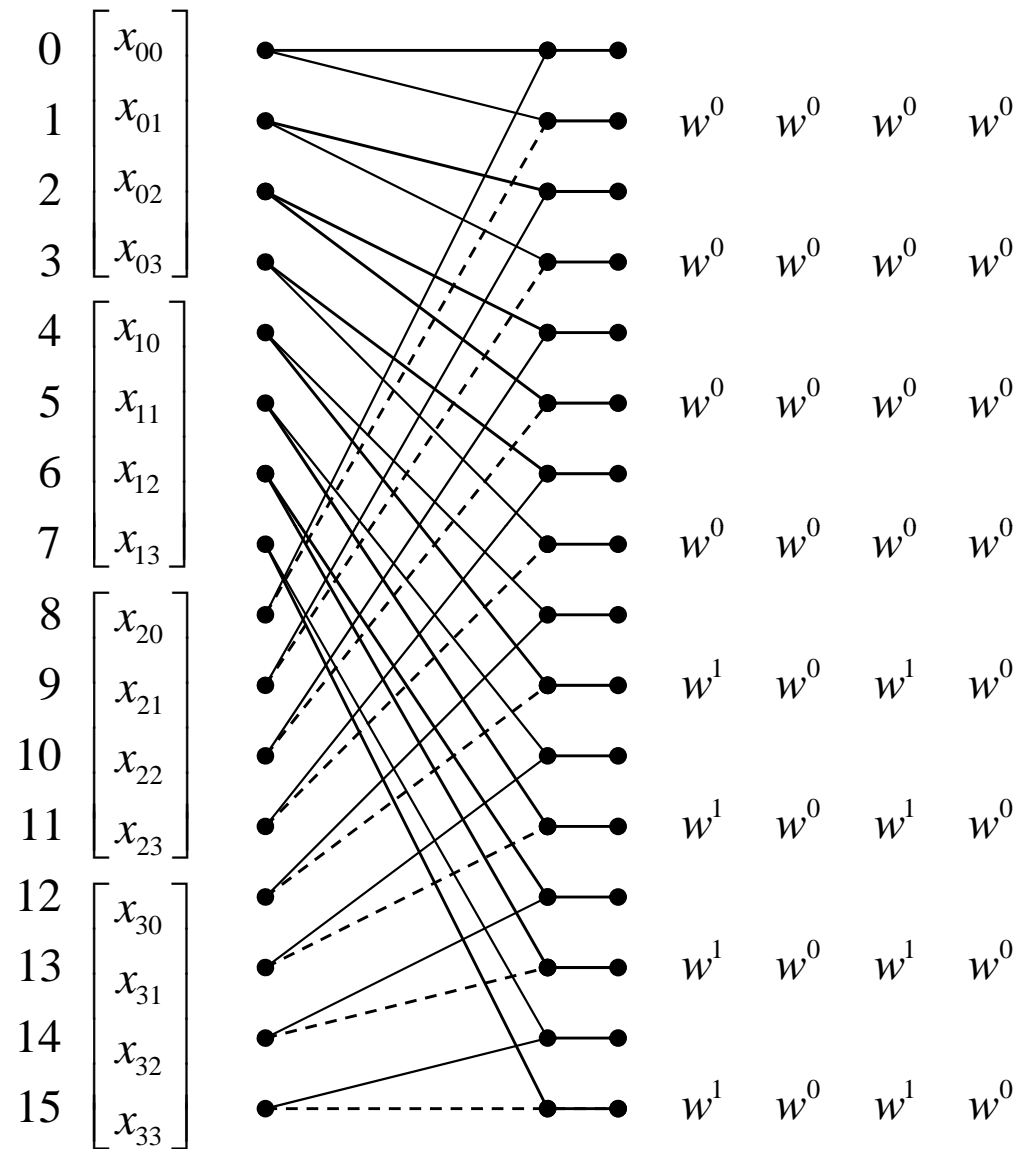
linearer Index : $i = k \cdot N + l$



Eindimensionale Realisierung der zweidimensionalen FFT

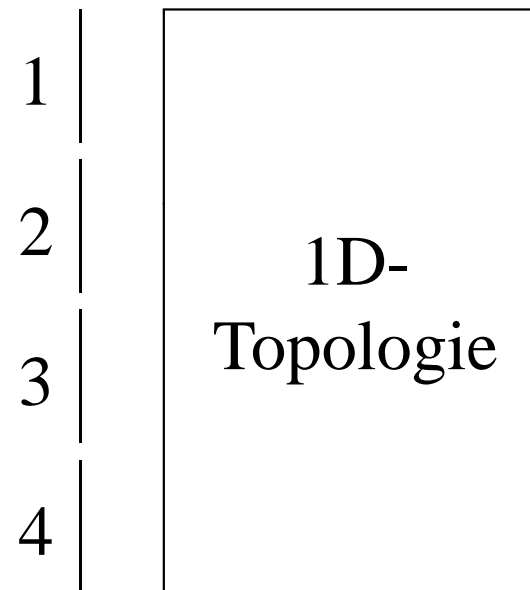
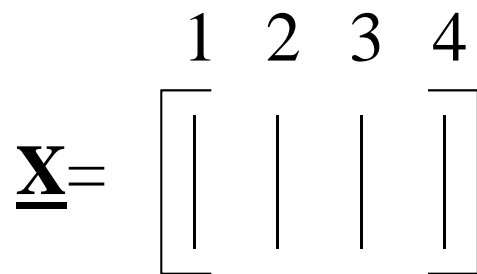


Homogene Struktur zur eindimensionalen Realisierung der zweidimensionalen FFT



$$w = e^{-j2\pi/4} = -j$$

Falls alle Spalten linear gestapelt werden:



Ergibt sich eine Zeilen/Spalten-Transformation
(zuerst Zeilen, dann Spalten)

Zahlenbeispiel

Bildmatrix:

$$\mathbf{A} = \begin{bmatrix} 1 & 12 & 18 & 13 & 2 & 17 & 19 & 20 \\ 16 & 5 & 17 & 4 & 20 & 14 & 7 & 16 \\ 5 & 12 & 11 & 7 & 2 & 12 & 4 & 8 \\ 19 & 3 & 10 & 2 & 8 & 12 & 16 & 8 \end{bmatrix}$$

2D-DFT:
(Fourier)

$$\tilde{\mathbf{A}} = \begin{bmatrix} (340,0) & (11.1,-24.6) & (-29,9) & (6.88,-44.6) & (10,0) & (6.88,44.6) & (-29,-9) & (11.1,24.6) \\ (41,21) & (-15.1,-26.5) & (-20,-2) & (15.5,-19) & (-5,-7) & (-24.9,-19.5) & (-32,24) & (8.46,5.02) \\ (-14,0) & (-2.88,18.3) & (-55,1) & (-7.12,14.3) & (-88,0) & (-7.12,-14.3) & (-55,-1) & (-2.88,-18.3) \\ (41,-21) & (8.46,-5.02) & (-32,-24) & (-24.9,19.5) & (-5,7) & (15.5,19) & (-20,2) & (-15.1,26.5) \end{bmatrix}$$

$$= \begin{bmatrix} 340 & 11.1 & -29 & 6.88 & 10 & 6.88 & -29 & 11.1 \\ 41 & -15.1 & -20 & 15.5 & -5 & -24.9 & -32 & 8.46 \\ -14 & -2.88 & -55 & -7.12 & -88 & -7.12 & -55 & -2.88 \\ 41 & 8.46 & -32 & -24.9 & -5 & 15.5 & -20 & -15.1 \end{bmatrix} + j \begin{bmatrix} 0 & -24.6 & 9 & -44.6 & 0 & 44.6 & -9 & 24.6 \\ 21 & -26.5 & -2 & -19 & -7 & -19.5 & 24 & 5.02 \\ 0 & 18.3 & 1 & 14.3 & 0 & -14.3 & -1 & -18.3 \\ -21 & -5.02 & -24 & 19.5 & 7 & 19 & 2 & 26.5 \end{bmatrix}$$

2D-DWT:
(Walsh)

$$\tilde{\mathbf{A}} = \begin{bmatrix} 340 & -30 & 2 & -20 & -38 & -4 & 68 & 10 \\ 62 & -28 & -20 & -34 & 4 & -34 & 6 & -12 \\ 20 & -18 & 30 & -44 & -30 & 40 & -8 & 2 \\ -14 & 20 & -4 & -54 & -56 & -10 & -26 & -88 \end{bmatrix}$$

Zusätzliche Anmerkungen zu FFT-Algorithmen

- Unter zusätzlicher Ausnutzung von Symmetrien der Exponentialfunktion ergeben sich schnelle Basis-4 und Basis-8 Algorithmen, welche weniger Multiplikationen auf Kosten zusätzlicher Additionen enthalten.
- Es existieren auch Prime-FFT-Algorithmen für Primzahldimensionen (keine Faktorisierung!), welche auf eine schnelle Faltung zurückgeführt werden können.
- Es existieren auch Mixed-Radix-Algorithmen, basierend auf einer gemischten Faktorisierung: $N=N_1 \cdot N_2 \cdot N_3$
- Der Winograd-Algorithmus garantiert das absolute Minimum an notwendigen Multiplikationen auf Kosten von Additionen. Er ist jedoch sehr unregelmäßig und seine Struktur ist von der Dimension abhängig.

Weitere Anwendungen der Faktorisierung

- Schnelles paralleles Sortieren aufbauend auf Bitonen Sortierer ($\sim (1d N)^2$ Zyklen)
- Dynamische Programmierung (DBV-II)
- Parallele Berechnung von Skalarprodukten
- Lageinvariante Mustererkennung (Kursvorlesung)
- Schnelle Polynomberechnung